2-1 北海道地方とその周辺の地震活動(2012年11月〜2013年4月) Seismic Activity in and around Hokkaido District(November 2012 – April 2013)

気象庁 札幌管区気象台

Sapporo District Meteorological Observatory, JMA

今期間,北海道地方とその周辺でM4.0以上の地震は92回,M5.0以上の地震は10回,M6.0以上の地震は1回発生した.札幌管区気象台が担当する領域における最大の地震は,2013年2月2日に十勝地方南部で発生したM6.5の地震である.2012年11月~2013年4月のM4.0以上の震央分布図を第1図(a)及び(b)に示す。このほか,第1図(a)及び(b)の範囲外の千島列島(ウルップ島南東沖)で2013年4月19日にM7.0の地震があった。

主な地震活動は以下のとおりである.

(1) 留萌地方中北部の地震(M4.8, 最大震度3, 第2図)

2013年1月3日20時14分に留萌地方中北部の深さ24kmでM4.8の地震(最大震度3)が発生した. この地震の発震機構は東西方向に圧力軸を持つ逆断層型で,地殻内で発生した地震である.

(2) 根室半島南東沖の地震 (M5.2, 最大震度4, 第3図)

2013年1月24日06時34分に根室半島南東沖の深さ65kmでM5.2の地震(最大震度4)が発生した. この地震の発震機構(CMT解)は太平洋プレートの傾斜方向に張力軸を持つ型で、太平洋プレート内部で発生した地震である.

(3) 十勝地方南部の地震 (M6.5, 最大震度5強, 第4図(a)~(e))

2013年2月2日23時17分に十勝地方南部の深さ102kmでM6.5の地震(最大震度5強)が発生した. この地震の発震機構は太平洋プレートの傾斜方向に張力軸を持つ型で,太平洋プレート内部 で発生した地震である.

(4) 北海道東方沖の地震 (M5.3, 最大震度3, 第5図)

2013年2月17日07時17分に北海道東方沖の深さ44kmでM5.3の地震(最大震度3)が発生した. この発震機構(CMT解)は北西-南東方向に圧力軸を持つ逆断層型である.

(5) 釧路地方中南部の地震 (M5.0, 最大震度3, 第6図)

2013年3月9日21時16分に釧路地方中南部の深さ101kmでM5.0の地震(最大震度3)が発生した.この地震の発震機構は太平洋プレートの傾斜方向に張力軸を持つ型で、太平洋プレート内部の二重地震面の下面で発生した地震である.

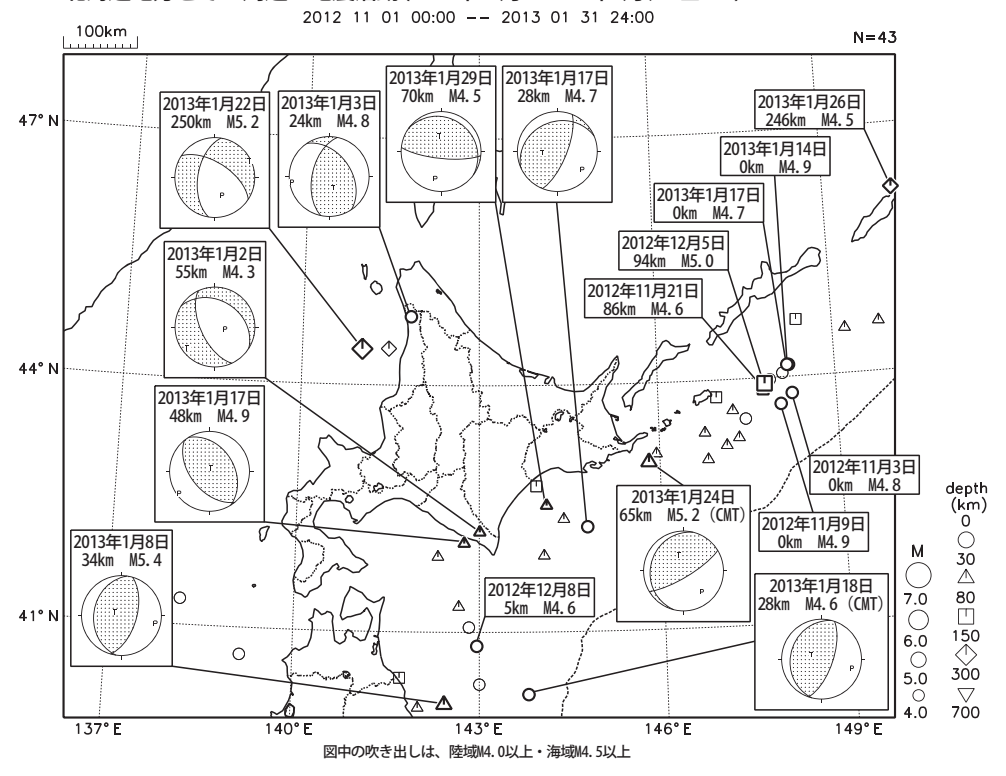
(6) 釧路沖の地震 (M5.1, 最大震度3, 第7図)

2013年3月10日05時11分に釧路沖の深さ49kmでM5.1の地震(最大震度3)が発生した.この地震の発震機構(CMT解)は南北方向に張力軸を持つ正断層型で、太平洋プレート内部で発生した地震である.

(7) 千島列島 (ウルップ島南東沖) の地震 (M7.0, 国内最大震度4, 第8図(a),(b)) ※第1図の範囲外

2013年4月19日12時05分に千島列島の深さ125kmでM7.0の地震(国内最大震度4)が発生した. この地震の発震機構(CMT解)は南北方向に張力軸を持つ型で,太平洋プレート内部で発生した地震である.

北海道地方とその周辺の地震活動(2012年11月~2013年1月、M≥4.0)



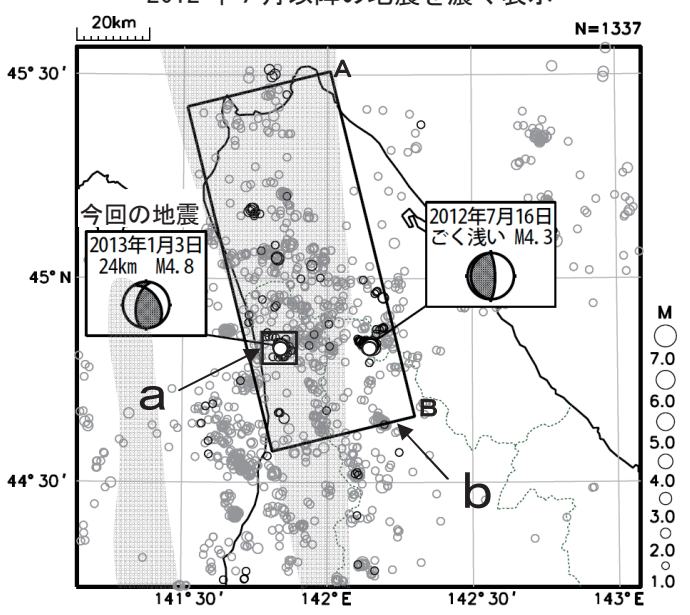
第1図(a) 北海道地方とその周辺の地震活動(2012年11月~2013年1月,M≧4.0,深さ≦700km) Fig.1(a) Seismic activity in and around Hokkaido district (November 2012- January 2013, M≧4.0, depth≦700km).

北海道地方とその周辺の地震活動(2013年2月~4月、M≥4.0) $2013\ 02\ 01\ 00:00\ --\ 2013\ 04\ 30\ 24:00$ 100km N=49 2013年4月5日 2013年3月27日 2013年3月9日 101km M5.0 2013年3月5日 156km M4.5(CMT) 2013年2月17日 44km M5.3(CMT) 386km M4.5 290km M4.9(CMT) 47° N 2013年2月9日 30km M4.6 2013年2月2日 102km M6.5 2013年3月8日 178km M4.5 2013年4月6日 $^{\Diamond}$ 2013年2月15日 2013年3月7日 2013年3月11日 0km M5.0 2013年2月2日 121km M4.0 44° N 2013年3月17日 30km M4.7 Δ 2013年4月6日 0km M4.8 2013年4月6日 0km M4.5 30 2013年2月2日 101km M4.0 2013年3月10日 49km M5.1(CMT) 7.0 80 41° N 6.0 150 300 5.0 700 4 0 137° E 140° E 143° E 146° E 図中の吹き出しは、陸域M4.0以上・海域M4.5以上

第1図(b) つづき(2013年2月~4月, M \geq 4.0, 深さ \leq 700km) Fig.1(b) Continued (February - April 2013, M \geq 4.0, depth \leq 700km).

1月3日 留萌地方中北部の地震

震央分布図 (2001年10月1日~2013年1月31日、 深さ0~30km、M≥1.0) 2012年7月以降の地震を濃く表示

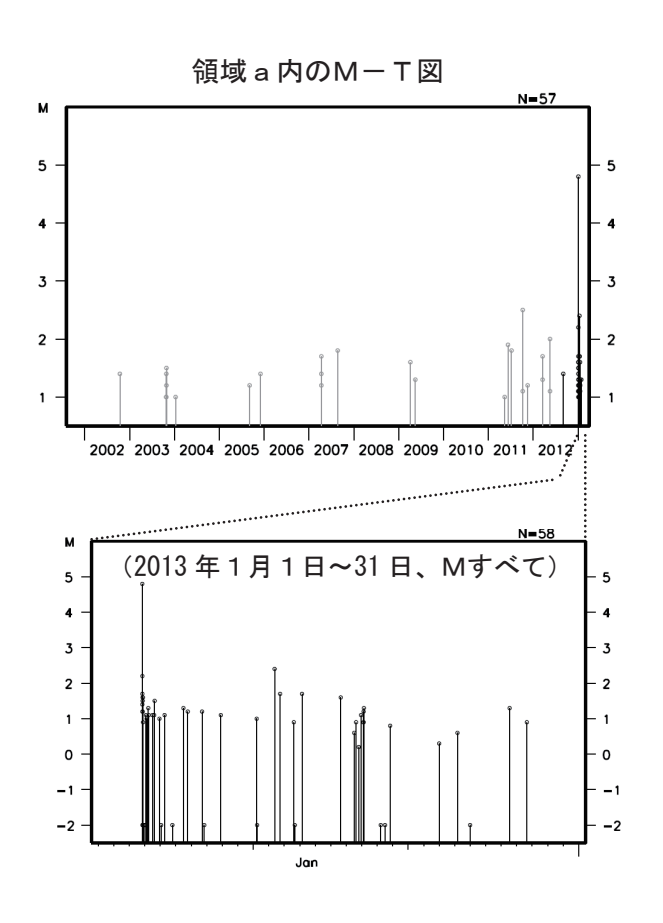


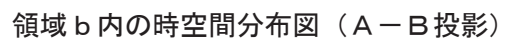
※ 陰影の領域は背斜構造から推定した歪み集中帯 (岡村 (2002) 及び「日本海東縁部の地震活動の 長期評価」 (2003) による)

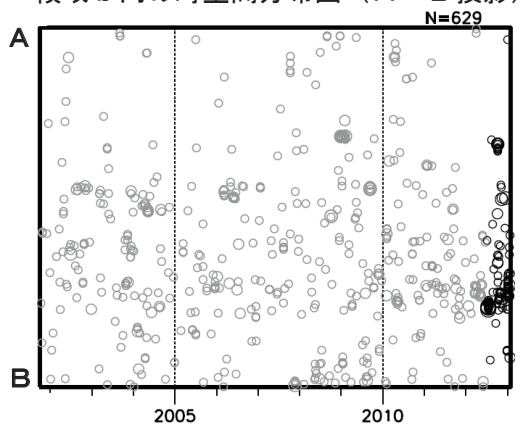
2013年1月3日20時14分に留萌地方中北部の深さ24kmでM4.8の地震(最大震度3)が発生した。この地震の発震機構は東西方向に圧力軸を持つ逆断層型で、地殻内で発生した地震である。なお、この地震の震源付近(領域a)では1月末現在も余震活動が継続している。

今回の地震の震央周辺では、2012年7月15日から18日にかけて、今回の地震から約20km東に離れた場所で、M4.0を超える地震が4回発生(最大規模は7月16日のM4.3、最大震度4)しており、この活動以降、領域bでは散発的な活動により地震活動が高まっている。

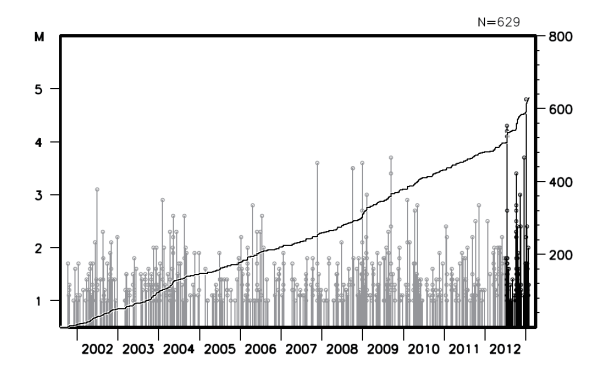
これらの地震は歪み集中帯**やその周辺で多く発生している。







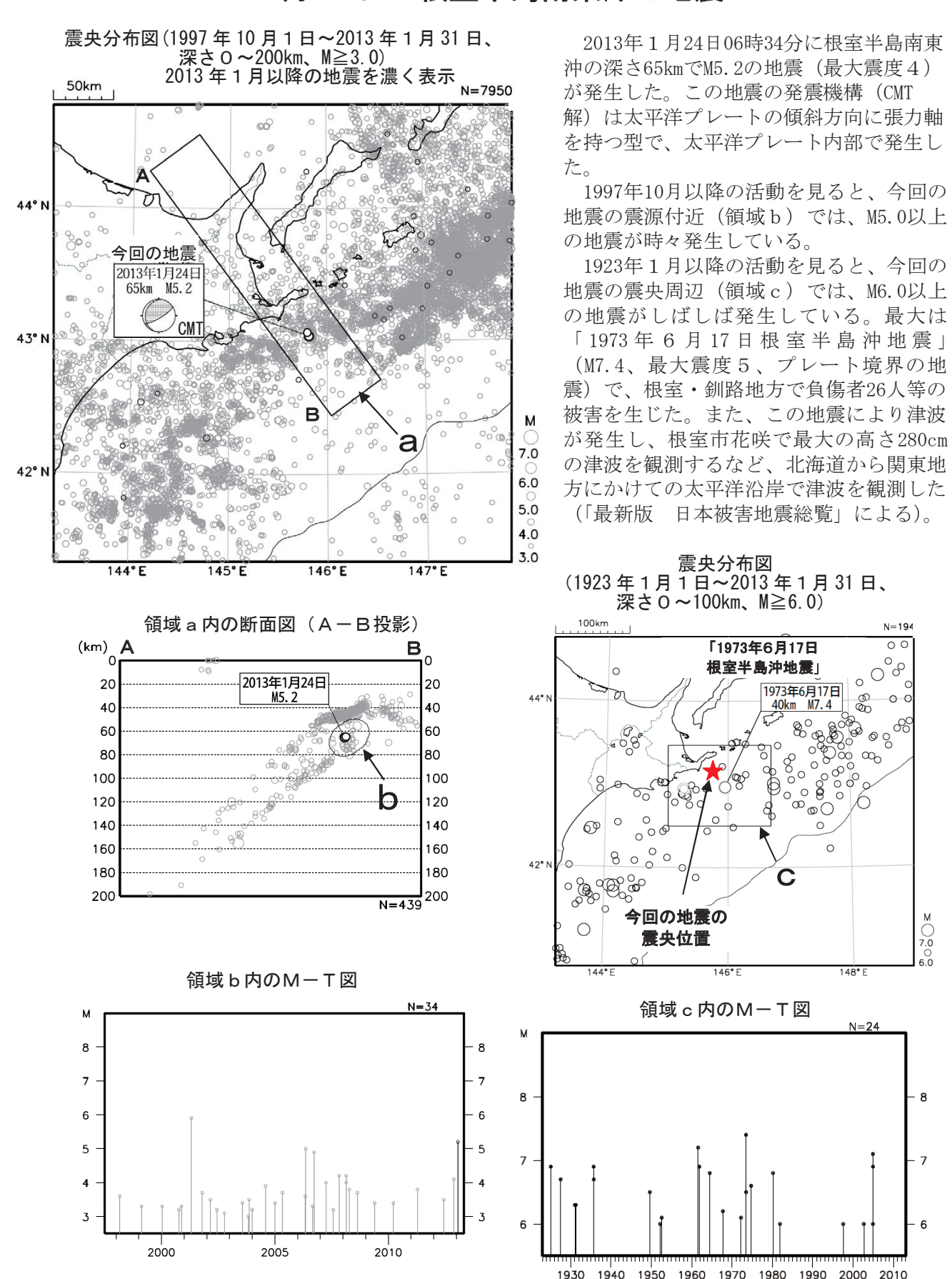
領域b内のM-T図及び回数積算図



第2図 2013年1月3日 留萌地方中北部の地震

Fig.2 The earthquake in the middle northern part of Rumoi region on January 3, 2013.

1月24日 根室半島南東沖の地震



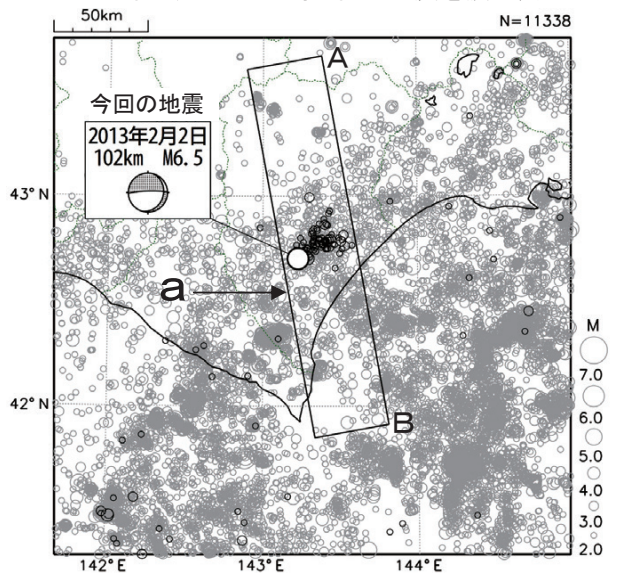
第3図 2013年1月24日 根室半島南東沖の地震

Fig. 3 The earthquake southeast off the Nemuro peninsula on January 24, 2013.

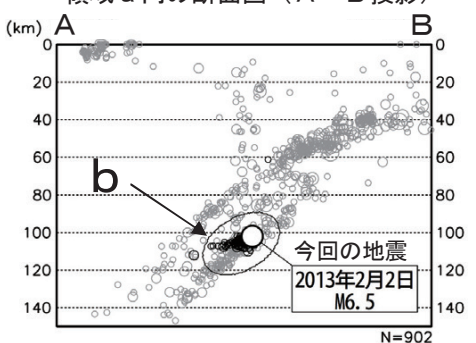
2月2日 十勝地方南部の地震

震央分布図(2001年10月1日~2013年2月28日、 深さ0~150km、M≥2.0)

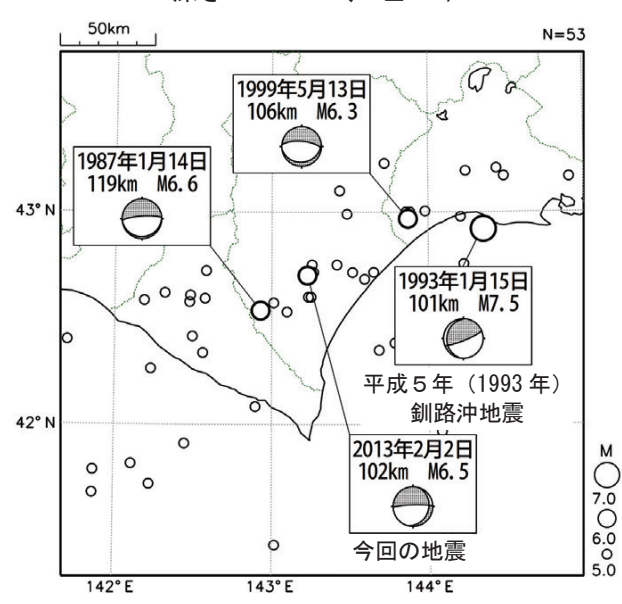
2013年2月2日23時以降の地震を濃く表示



領域a内の断面図(A-B投影)



震央分布図(1923年1月1日~2013年2月28日、 深さ90~120km、M≥5.0)



気象庁はこの地震に対して〔十勝地方中部〕で 情報発表した。

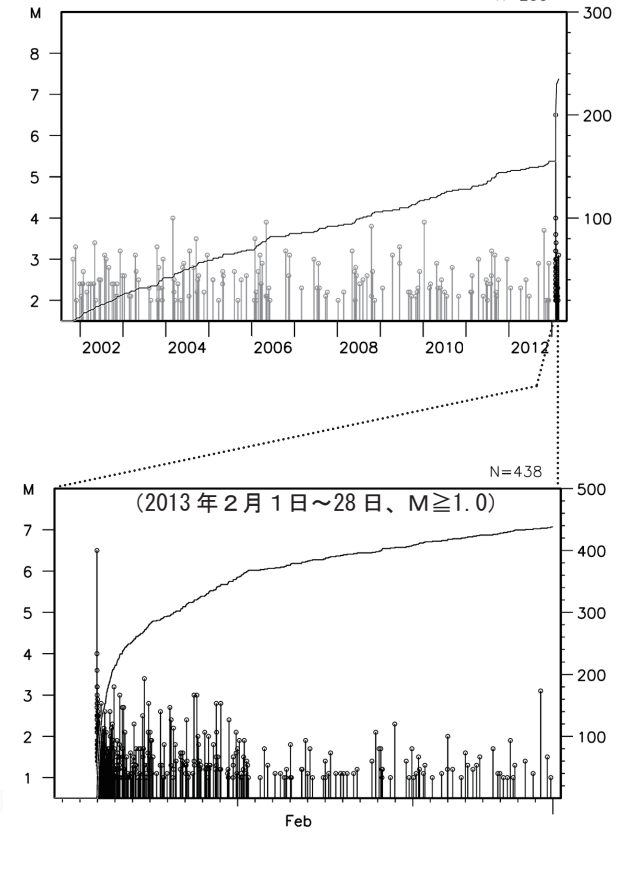
2013年2月2日23時17分に十勝地方南部の深さ102kmでM6.5の地震(最大震度5強)が発生した。この地震の発震機構は、太平洋プレートの傾斜方向に張力軸を持つ型で、太平洋プレート内部で発生した地震である。この地震により、負傷者14人、住家一部破損1棟の被害が生じた(総務省消防庁による)。なお、この地震の余震活動は、2月末現在も継続している。

2001年10月以降の地震活動を見ると、今回の地震の震源付近(領域 b)では、M5.0を超える地震は発生していなかった。

1923 年1月以降の地震活動を見ると、今回の地震の震源周辺では、M6.0 を超える地震が発生しており、1987年1月14日のM6.6 の地震(最大震度5)では、重軽傷者7人、建物破損などの被害を生じた(「最新版 日本被害地震総覧」による)。

領域b内のM-T図及び回数積算図

N = 2.35



第4図(a) 2013年2月2日 十勝地方南部の地震

Fig. 4(a) The earthquake in the southern part of Tokachi region on February 2, 2013.

2月2日 十勝地方南部の地震(DD震源との比較)

《一元化震源》

震央分布図 (2001年1月1日~2013年2月3日、 深さ80~120km、M すべて) 今回の地震を赤、その他の 2013 年 2 月 2 日 23 時以降に発生し た地震を濃く表示 領域 a の断面図 (A-B投影) 領域 a の断面図 (B-C投影) (m) B 領域a内のM-T図 余震は水平よりやや東に傾斜した面状の分布をしている (発震機構の節面の1つと調和的)。 本震の震源は余震分布の南西の端に位置している。 001 2002 2003 2004 2005 2006 2007 2008 2000 2010 2011 2013 ・2013年2月2日23時~3日24時に発生した地震についる (2013年2月2日23時~2月3日24時) て、波形相関を用いたDD法により詳細な震源分布を求め 一元化震源では、本震の震源が余震分布よりもやや深いと ころに決まっているが、観測点限定及び残差が大きなS相 の除外を行うことで本震の震源が浅くなり、余震分布に乗 るようになった。 《波形相関によるDD法》 震央分布図 (2001年1月1日~2013年2月3日、 深さ80~120km、M すべて) 今回の地震(赤で表示)及び2013年2月2日23時以降に発生した地震(漫く表示しているもの)はDD法により再決定した震源 領域 a の断面図 (B-C投影) 領域 a の断面図 (A-B投影) 使用した観測点と震央分布図の範囲

第4図(b) DD震源との比較

Fig.4(b) Comparison with the hypocenter distribution by the Double-Difference Method.

震央分布図の範囲

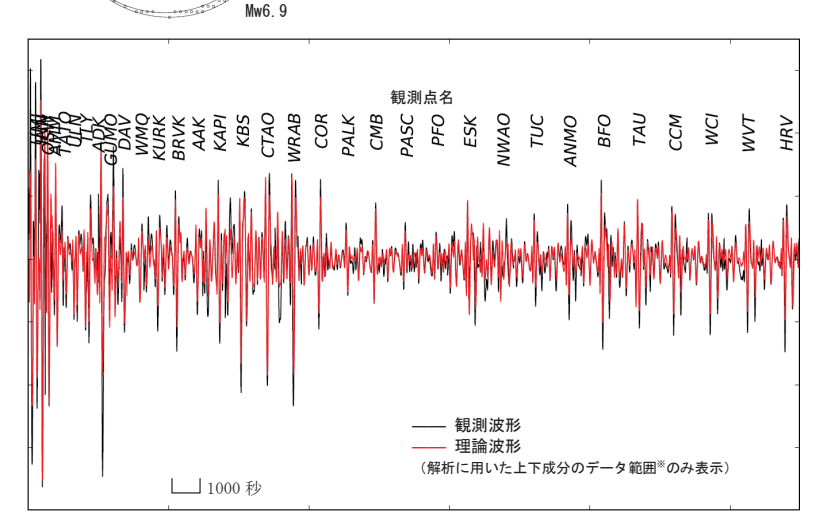
2月2日 十勝地方南部の地震 (W-phase を用いたメカニズム解析)

W-phase による解

2013年2月2日23時17分(日本時間)に十勝地方南部で発 生した地震について W-phase を用いたメカニズム解析を行った。 メカニズム、Mw とも、Global CMT などの他機関の解析結果とほ ぼ同様であり、Mw は 6.9 であった。なお、W-phase の解析で求 めた震源はN42.8°, E143.2°, 深さ111kmとなった。

W-phase の解析では、震央距離 10°~90° までの 33 観測点の 上下成分、12 観測点の南北成分、10 観測点の東西成分を用い、 100~500 秒のフィルターを使用した。

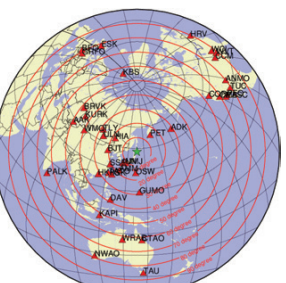
注) W-phase とは P 波から S 波付近までの長周期の実体波を指す。



※解析に用いたデータの範囲は15秒×震央距離(度)としており、 各々の観測点の解析区間のみを繋げた波形を表示している。

(W-phase に関する参考文献) Kanamori, H and L. Rivera (2008): Geophys. J. Int., 175, 222-238.

解析データには防災科学技術研究所の F-net の波形記録及び IRIS-DMC より取得した広帯域地震波形記録を使用した。 また、解析に使用したプログラムは金森博士に頂いたものを 使用した。記して感謝する。



解析に使用した観測点配置

第4図(c) W-phaseを用いたメカニズム解析

Fig.4(c) W-phase moment tensor solution.

2013年2月2日 十勝地方南部の地震 - 近地強震波形による震源過程解析(暫定)-

2013 年 2 月 2 日 23 時 17 分(日本時間)に十勝地方南部で発生した地震($M_{\rm MA}$ 6.5)について、独立行政 法人防災科学技術研究所の KiK-net の近地強震波形を用いた震源過程解析を行った.

初期破壊開始点は、気象庁による震源の位置(42° 42.1' N, 143° 13.6' E, 深さ 102km)とした.断層面は、気象庁 CMT 解の 2 枚の節面うち、余震分布に整合的な節面(走向 348° 、傾斜 7°)とした.最大破壊伝播速度は 3.5km/s とした.理論波形の計算には Matsubara and Obara (2011)及び J-SHIS の地下構造モデルを用いた.

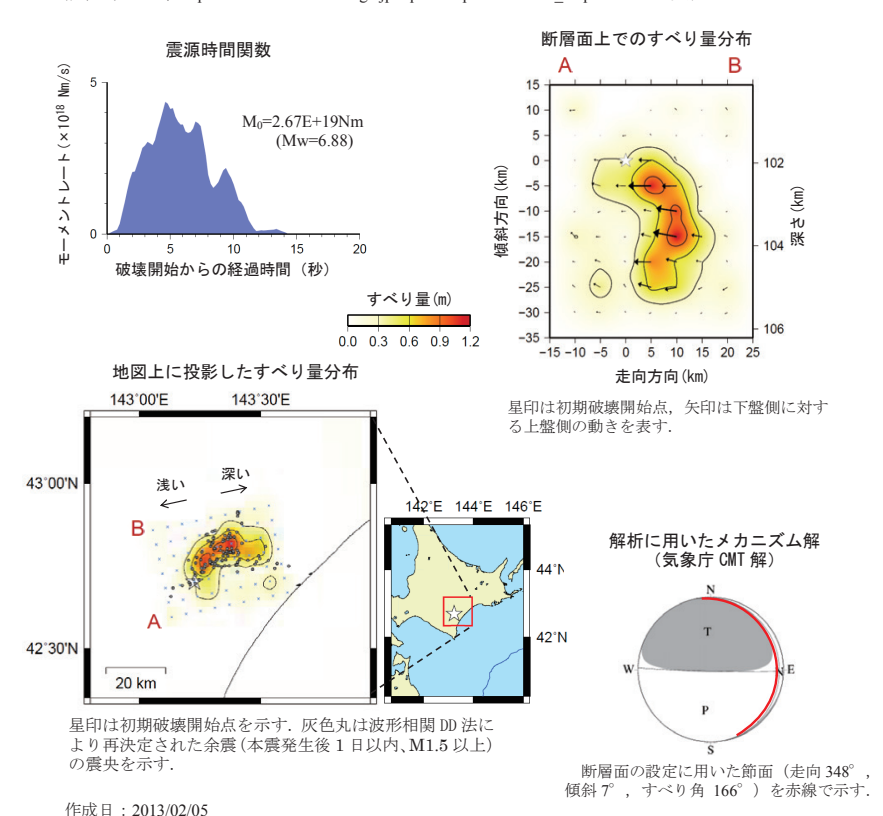
主な結果は以下のとおり (この結果は暫定であり、今後更新することがある).

- ・断層の大きさは長さ約 20km, 幅約 30km であった.
- ・主なすべりは初期破壊開始点の北東にあり、最大すべり量は1.2mであった(周辺の構造から剛性率を62GPaとして計算).
- ・主な破壊継続時間は約12秒であった.

更新日:2013/02/06 2013/03/08

・モーメントマグニチュード (Mw) は 6.9 であった.

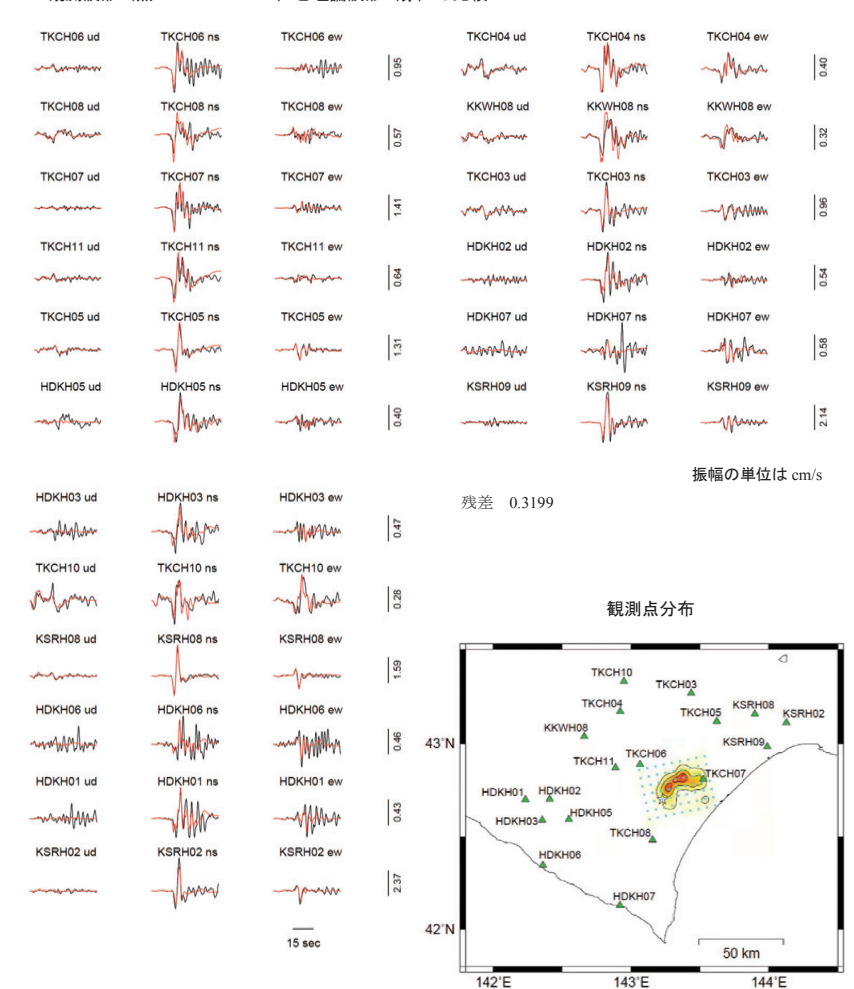
結果の見方は、http://www.seisvol.kishou.go.jp/eq/sourceprocess/about_srcproc.html を参照.



第4図(d) 近地実体波による震源過程解析

Fig.4(d) Source rupture process: analysis using seismic body-wave.

観測波形 (黒: 0.05Hz-0.2Hz) と理論波形 (赤)の比較



謝辞 独立行政法人防災科学技術研究所の KiK-net を使用しました.

参考文献

Matsubara, M. and K. Obara, The 2011 Off the Pacific Coast of Tohoku earthquake related to a strong velocity gradient with the Pacific plate, Earth Planets Space, 63, 663-667, 2011 独立行政法人防災科学技術研究所 地震ハザードステーション J-SHIS http://wwwold.j·shis.bosai.go.jp/

2013年2月2日 十勝地方南部の地震 - 遠地実体波による震源過程解析(暫定)-

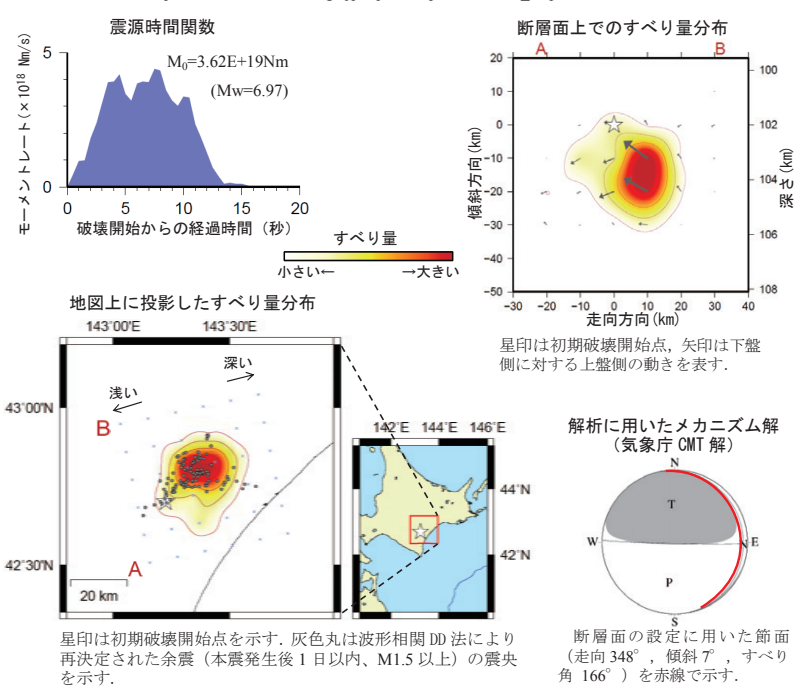
2013年2月2日23時17分(日本時間)に十勝地方南部で発生した地震について、米国地震学連合(IRIS) のデータ管理センター (DMC) より広帯域地震波形記録を取得し、遠地実体波を用いた震源過程解析(注 1) を行った.

初期破壊開始点は, 気象庁による震源の位置 (42°42.1'N, 143°13.6'E, 深さ 102km) とした. 断層 面は, 気象庁 CMT 解の 2 枚の節面のうち, 余震分布に整合的な節面(走向 348° , 傾斜 7°) とした. 最 大破壊伝播速度は 3.0km/s とした. 理論波形の計算には Matsubara and Obara (2011)及び J-SHIS の地下構造モ デルを用いた.

主な結果は以下のとおり(この結果は暫定であり、今後更新することがある)。

- ・断層の大きさは長さ約 30km, 幅約 30km であった.
- ・主なすべりは初期破壊開始点の北東にあり、最大すべり量は 0.9m であった (周辺の構造から剛性率を 70GPa として計算).
- ・破壊継続時間は13秒であった.
- ・モーメントマグニチュード (Mw) は7.0 であった.

結果の見方は、http://www.seisvol.kishou.go.jp/eq/sourceprocess/about srcproc.html を参照.

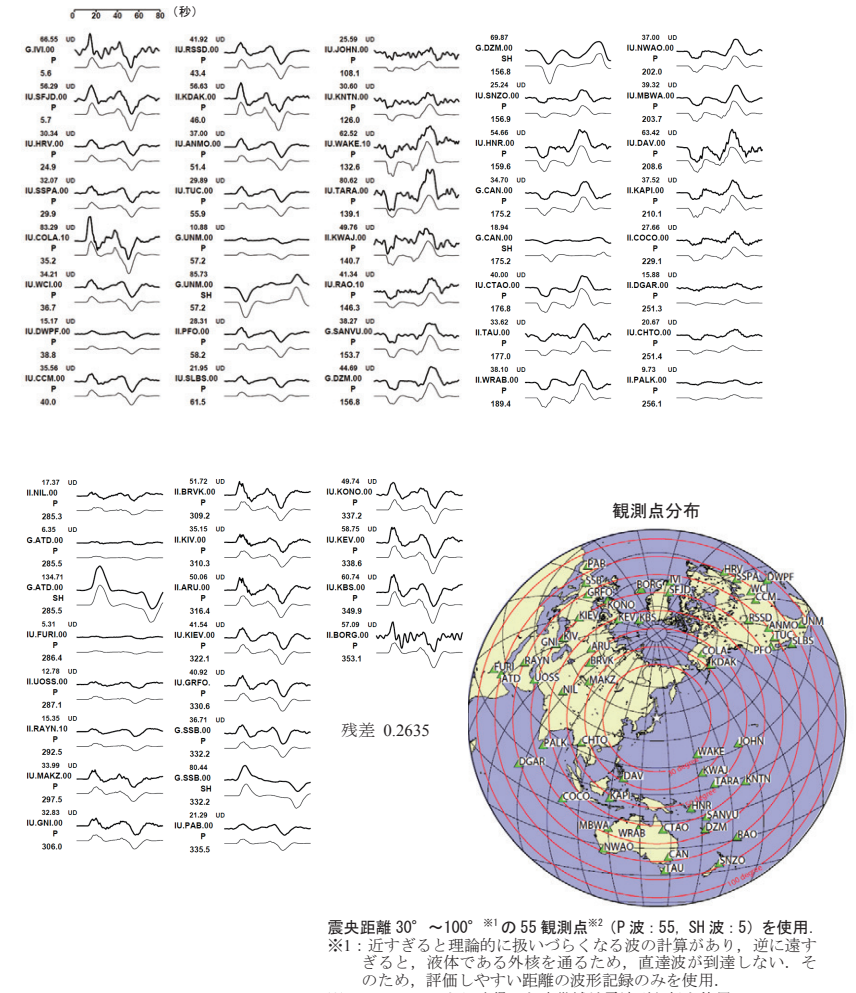


(注1)解析に使用したプログラム

M. Kikuchi and H. Kanamori, Note on Teleseismic Body-Wave Inversion Program, http://www.eri.u-tokyo.ac.jp/ETAL/KIKUCHI/

作成日: 2013/02/05 更新日:2013/03/08 2013/04/26

観測波形 (上: 0.002Hz-1.0Hz) と理論波形 (下) の比較



※2: IRIS-DMC より取得した広帯域地震波形記録を使用.

参考文献

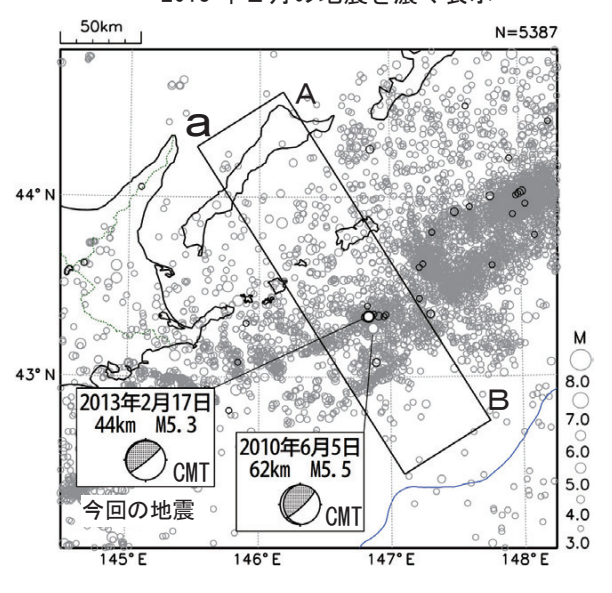
Matsubara, M. and K. Obara, The 2011 Off the Pacific Coast of Tohoku earthquake related to a strong velocity gradient with the Pacific plate, Earth Planets Space, 63, 663-667, 2011 独立行政法人防災科学技術研究所 地震ハザードステーション J-SHIS http://www.old.j-shis.bosai.go.jp/

第4図(e) 遠地地実体波による震源過程解析

Fig.4(e) Source rupture process: analysis using teleseismic body-wave.

2月17日 北海道東方沖の地震

震央分布図(2001年10月1日~2013年2月28日、 深さ0~150km、M≥3.0) 2013年2月の地震を濃く表示

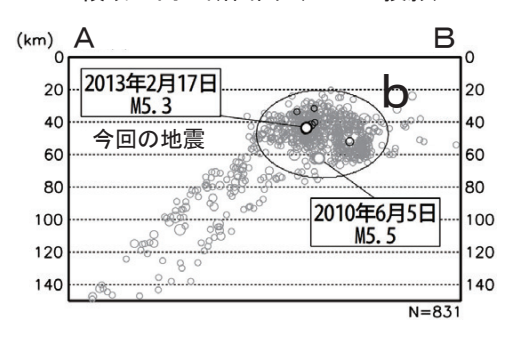


2013年2月17日07時17分に北海道東方沖の深さ44kmでM5.3の地震(最大震度3)が発生した。この地震の発震機構(CMT解)は北西-南東方向に圧力軸を持つ逆断層型であった。

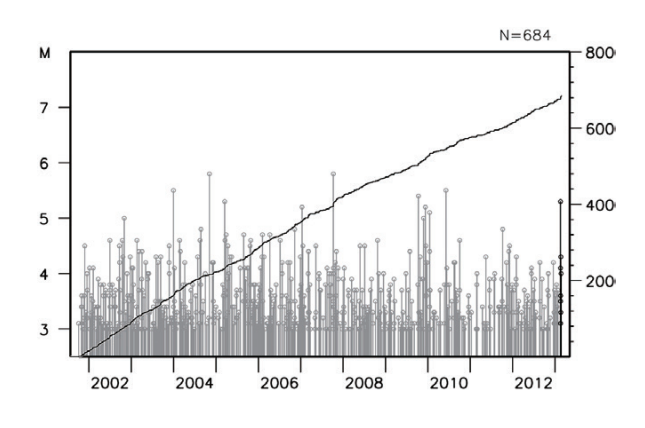
2001年10月以降の地震活動を見ると、今回の地震の震源付近(領域 b)では、M5.0以上の地震が時々発生しており、最近では、2010年6月5日にM5.5の地震(最大震度3)が発生している。

1923 年 1 月以降の地震活動を見ると、今回の地震の震央周辺では、M7.0 以上の地震がしばしば発生している。最大は「平成6年(1994年)北海道東方沖地震」(M8.2、最大震度6)で、負傷者436人のほか、住家被害、船舶被害など、地震と津波による被害を生じた(「最新版日本被害地震総覧」による)。

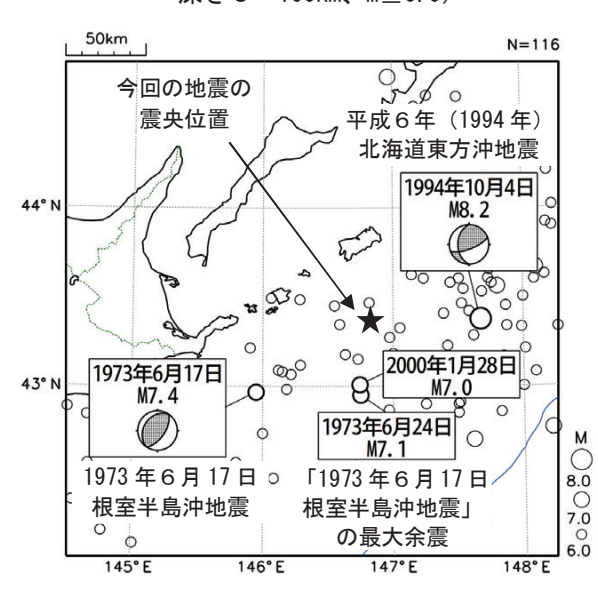
領域 a 内の断面図 (A-B投影)



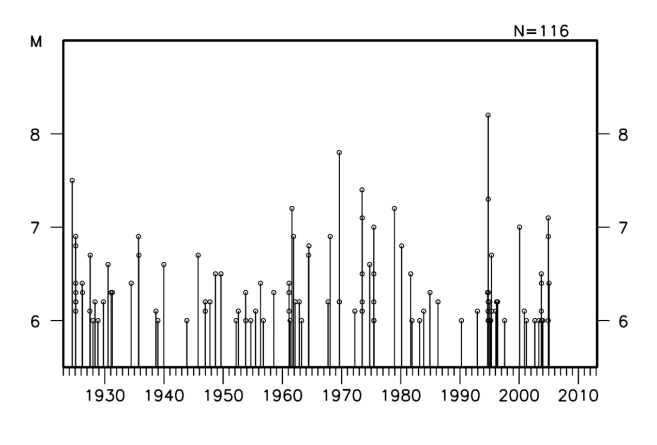
領域 b 内のM-T図及び回数積算図



震央分布図 (1923年1月1日~2013年2月28日、 深さ0~100km、M≥6.0)



左図の領域内のM-T図

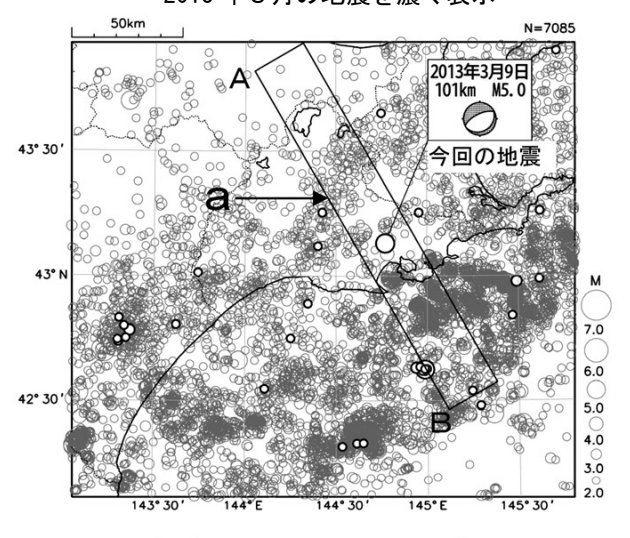


第5図 2013年2月17日 北海道東方沖の地震

Fig. 5 The earthquake east off Hokkaido on February 17, 2013.

3月9日 釧路地方中南部の地震

震央分布図(2001年10月1日~2013年3月31日、 深さ30~180km、M≥2.0) 2013年3月の地震を濃く表示



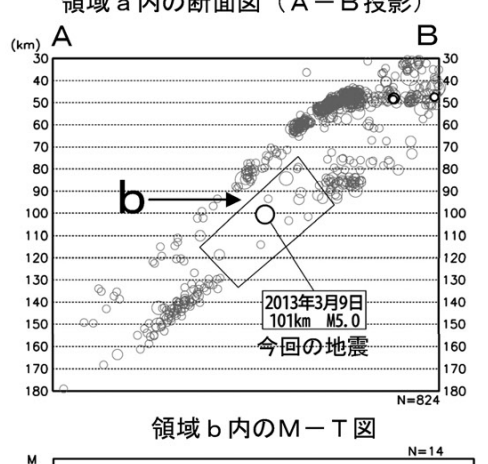
2013年3月9日21時16分に釧路地方中南部の深さ101kmでM5.0の地震(最大震度3)が発生した。この地震の発震機構は、太平洋プレートの傾斜方向に張力軸を持つ型で、太平洋プレート内部(二重地震面の下面)で発生した地震である。

2001年10月以降の地震活動を見ると、今回の 地震の震源付近(領域 b)では、地震活動は低 調である。

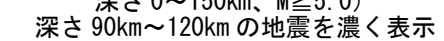
1982 年3月以降の地震活動を見ると、北海 道東部の深さ100km前後のプレート内部で、今 回の地震と同じ発震機構を持つM6.0以上の地 震は、3回発生している。

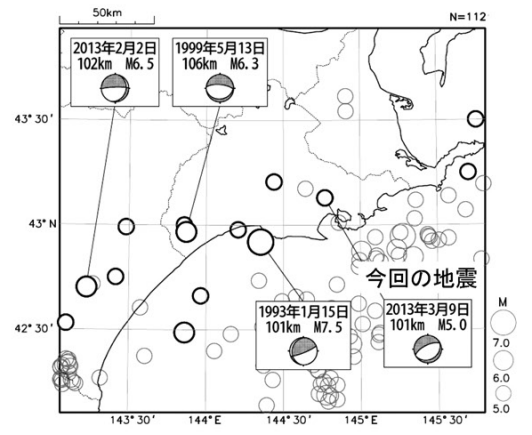
1923 年 1 月以降の地震活動を見ると、今回の地震の震央周辺では、1993 年 1 月 15 日の「平成 5 年 (1993 年) 釧路沖地震」(M7.5、最大震度 6) が発生しており、死者 2 名、負傷者 967人、住家全半壊 308 棟などの被害が生じた(「最新版 日本被害地震総覧」による)。

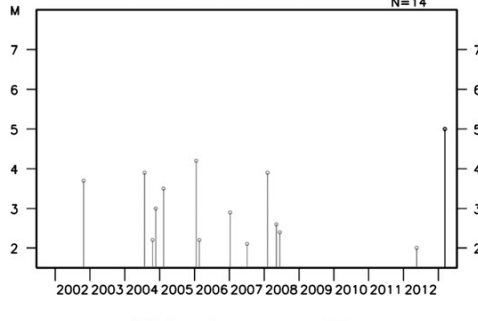
領域a内の断面図(A-B投影)



震央分布図(1982年3月1日~2013年3月31日、 深さ0~150km、M≥5.0)

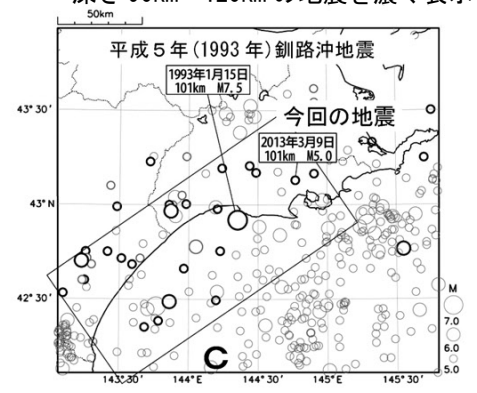




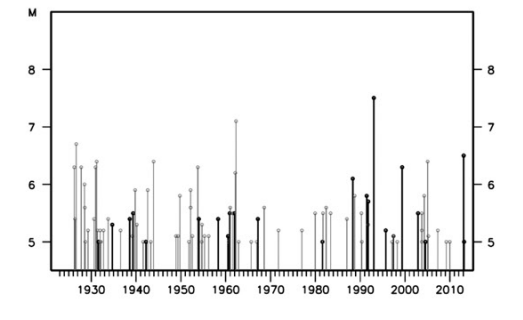


震央分布図 (1923年1月1日~2013年3月31日、 深さ0~150km、M≥5.0)

深さ 90km~120km の地震を濃く表示



領域c内のM-T図

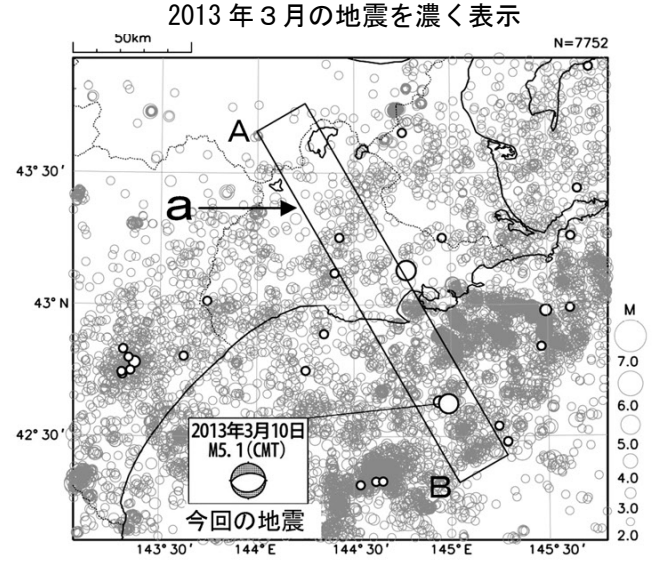


第6図 2013年3月9日 釧路地方中南部の地震

Fig. 6 The earthquake in the middle southern part of Kushiro region on March 9, 2013.

3月10日 釧路沖の地震

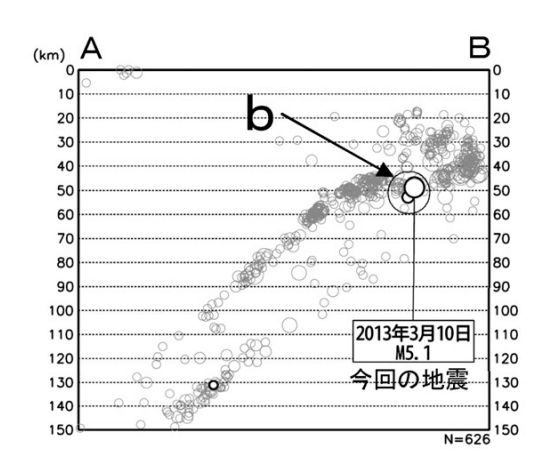
震央分布図(2001年10月1日~2013年3月31日、 深さ0~150km、M≥2.0)

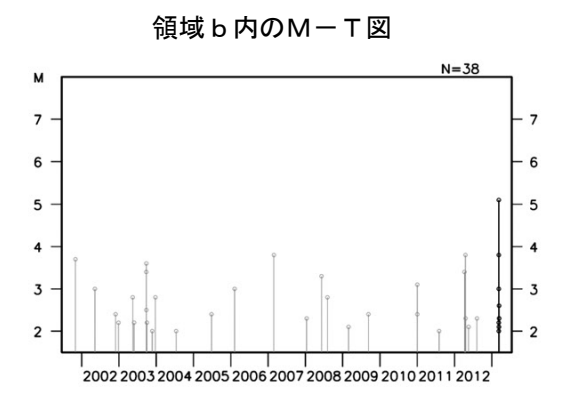


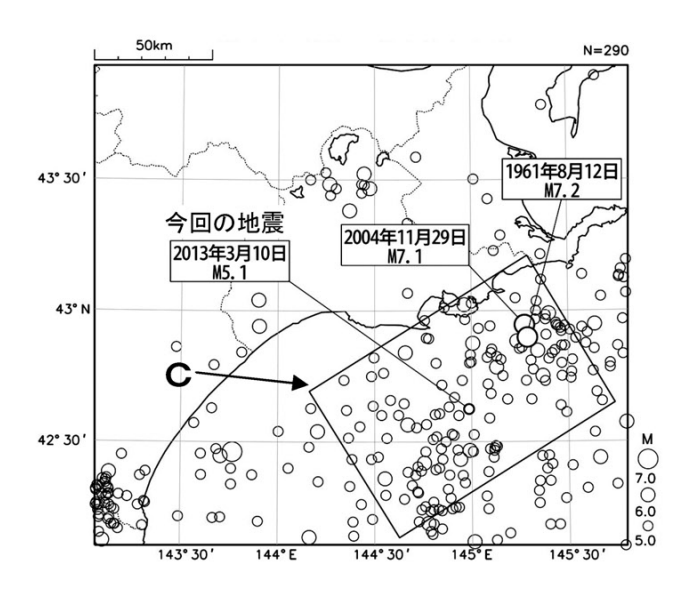
2013年3月10日05時11分に釧路沖の深さ49kmでM5.1の地震(最大震度3)が発生した。この地震の発震機構は、南北方向に張力軸を持つ正断層型で、太平洋プレート内部で発生した地震である。

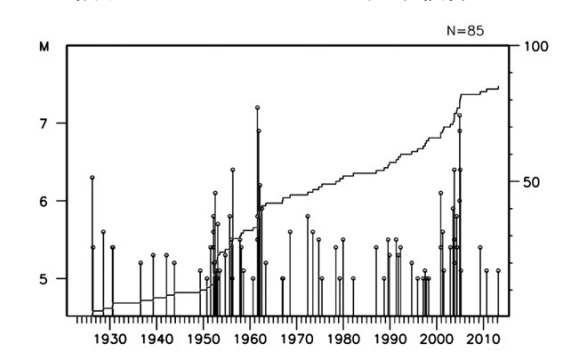
2001年10月以降の地震活動を見ると、今回の地震の震源付近(領域 b)では、M5.0を超える地震は発生していなかった。

1923 年1月以降の地震活動を見ると、今回の地震の震央周辺(領域 c) では、M5.0 を超える地震はしばしば発生しており、最近では2004年11月29日のM7.1の地震(最大震度5強)により、負傷者52人、住家全半壊5棟などの被害が生じた(総務省消防庁による)。







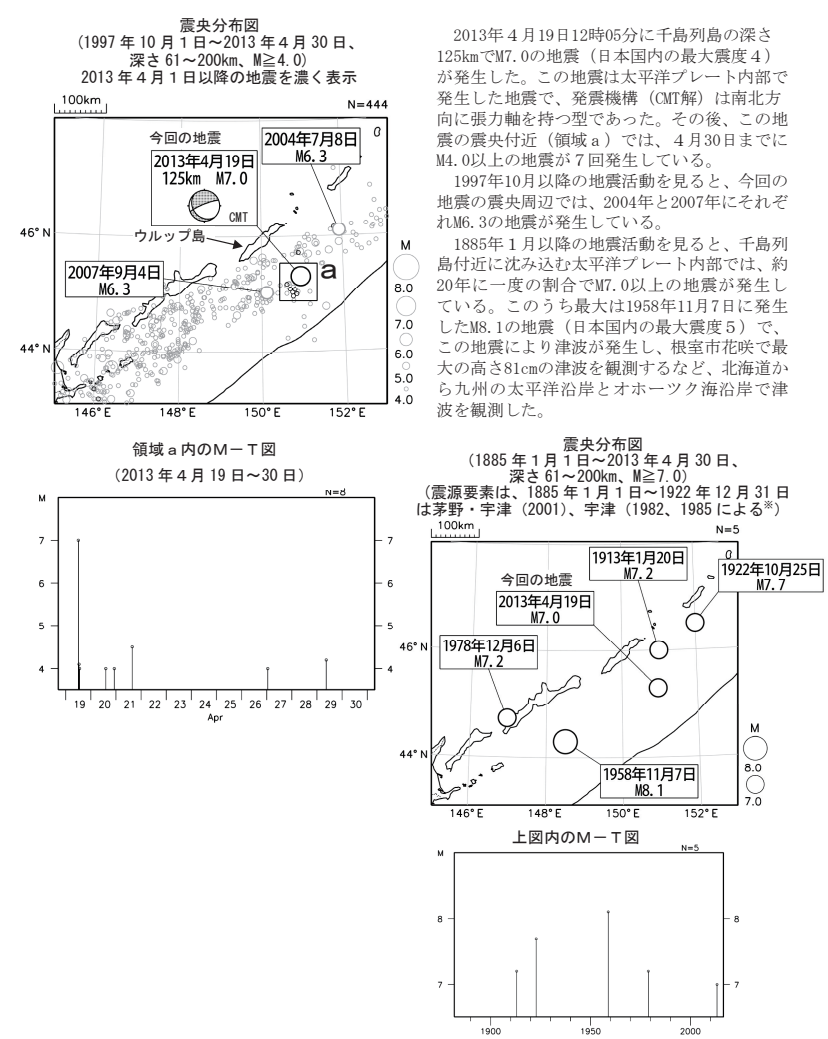


領域c内のM-T図及び回数積算図

第7図 2013年3月10日 釧路沖の地震

Fig.7 The earthquake off Kushiro on March 10, 2013.

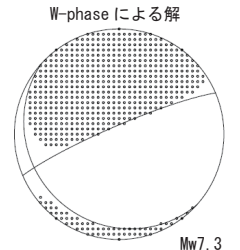
4月19日 千島列島(ウルップ島南東沖)の地震



※宇津徳治、日本付近の M6.0 以上の地震および被害地震の表:1885 年~1980 年、震研彙報、57,401-463,1982、 宇津徳治、日本付近の M6.0 以上の地震および被害地震の表:1885 年~1980 年(訂正と追加)、震研彙報、60,639-642,1985、 茅野一郎・宇津徳治、日本の主な地震の表,「地震の事典」第2版、朝倉書店、2001,655pp

第8図(a) 2013年4月19日 千島列島(ウルップ島南東沖)の地震 Fig.8(a) The earthquake near the Kuril Islands(southeast off Urup Island) on April 19, 2013.

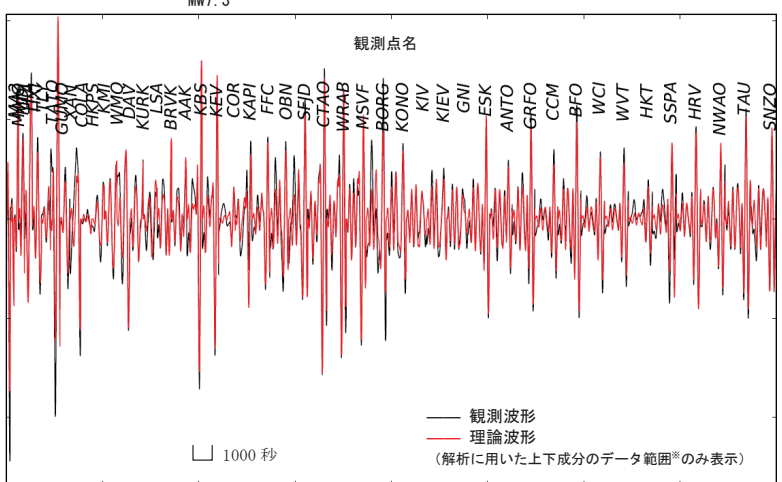
4月19日 千島列島の地震 (W-phase を用いたメカニズム解析)



2013 年 4 月 19 日 12 時 05 分(日本時間)に千島列島で発生した地震について W-phase を用いたメカニズム解析を行った。メカニズム、Mw とも、Global CMT などの他機関の解析結果とほぼ同様であり、Mw は 7.3 であった。なお、W-phase の解析で求めた震源は $N45.9^\circ$, $Pli50.8^\circ$,深さ 101km となった。

W-phase の解析では、震央距離 10°~90° までの 46 観測点の 上下成分、9 観測点の南北成分、9 観測点の東西成分を用い、200 ~600 秒のフィルターを使用した。

注) W-phase とは P 波から S 波付近までの長周期の実体波を指す。



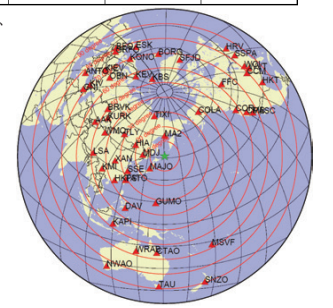
※解析に用いたデータの範囲は15秒×震央距離(度)としており、 各々の観測点の解析区間のみを繋げた波形を表示している。

(W-phase に関する参考文献)

Kanamori, H and L. Rivera (2008): Geophys. J. Int., 175, 222-238.

解析データには IRIS-DMC より取得した広帯域地震波形記録を 使用した。

また、解析に使用したプログラムは金森博士に頂いたものを 使用した。記して感謝する。



解析に使用した観測点配置

第8図(b) W-phaseを用いたメカニズム解析

Fig. 8(b) W-phase moment tensor solution.